

И.Г. Соловьев, Р.В. Распопов

УСТОЙЧИВОЕ ОЦЕНИВАНИЕ ПАРАМЕТРОВ КОЛЛЕКТОРОВ НА ОСНОВЕ ν -ОРТОГОНАЛИЗАЦИИ

Исследуются вопросы повышения устойчивости оценок гидродинамических параметров локальных зон нефтеносных коллекторов на основе методов квазиортогонального редуцирования.

Нефтеносные коллекторы, гидропроводность, идентификация, ортогонализация, модель.

Эффективность использования постоянно действующих геолого-технологических моделей (ПДГТМ) коллекторов в задачах анализа, прогноза и регулирования разработки месторождений [6, 8, 9] напрямую зависит от точности описания фильтрационно-емкостных параметров залежи. Большое количество публикаций, посвященных параметрическому оцениванию нефтеносных коллекторов по данным истории разработки [14–16], свидетельствует, с одной стороны, об актуальности темы, а с другой — о ее сложности.

Задачи оценки параметров распределенных сред по данным контроля состояния системы в конечном наборе точек (в скважинах) относятся к классу плохообусловленных [12]. Основные рекомендации по повышению надежности оценок сводятся:

- к обеспечению высокого уровня информативности и незашумленности выборки данных натуральных измерений состояния системы;
- учету априорной информации о свойствах среды, полученной фактографическими методами (технологии геофизического контроля) [7];
- редуцированию (упрощению) исходных моделей гидродинамики коллектора на основе пространственного осреднения состояний и параметров.

Каждую из вышеозначенных рекомендаций следует использовать в практике анализа. Однако в условиях реальной эксплуатации информативность выборки данных не подлежит регулировке, в то время как агрегация структуры модели (на основе упрощенных осреднений) до приведения в соответствие с информативностью данных натуральных измерений вполне возможна. Именно указанный подход рассматривается далее.

Фрагмент зональной структуры коллектора, соответствующий трех- (пяти-) рядной системе заводнения, представленный на рис., отвечает минимальному уровню сложности осредненного конечномерного описания динамики пласта. Каждая i -я зона, окаймляющая скважину, характеризуется:

- среднезональным давлением $\bar{p}_i(t)$;
- удельным весом флюида γ_i ;
- объемным расходом $q_i(t)$ (для добычи $q_i > 0$, для нагнетания $q_i < 0$);
- позицией среднезонального уровня Δh_i относительно назначенной горизонтали.

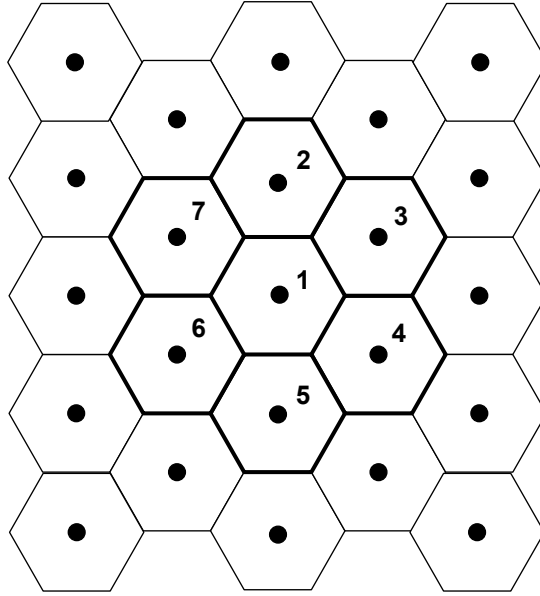


Рис. Трехрядная схема заводнения нефтеносного пласта

Согласно линейной теории фильтрации [2, 13], гидродинамика коллектора с объявленной структурой зональных осреднений задается системой уравнений объемных гидроупругих балансов

$$\begin{aligned}
 \phi_1 \dot{p}_1(t) &= q_{21}(t) + q_{31}(t) + q_{41}(t) + q_{51}(t) + q_{61}(t) + q_{71}(t) - q_1(t) + \delta q_1, \\
 \phi_2 \dot{p}_2(t) &= -q_{21}(t) + q_{72}(t) - q_{23}(t) + q_{k2}(t) - q_2(t) + \delta q_2, \\
 \phi_3 \dot{p}_3(t) &= -q_{31}(t) + q_{23}(t) - q_{34}(t) + q_{k3}(t) - q_3(t) + \delta q_3, \\
 \phi_4 \dot{p}_4(t) &= -q_{41}(t) + q_{34}(t) - q_{45}(t) + q_{k4}(t) - q_4(t) + \delta q_4, \\
 \phi_5 \dot{p}_5(t) &= -q_{51}(t) + q_{45}(t) - q_{56}(t) + q_{k5}(t) - q_5(t) + \delta q_5, \\
 \phi_6 \dot{p}_6(t) &= -q_{61}(t) + q_{56}(t) - q_{67}(t) + q_{k6}(t) - q_6(t) + \delta q_6, \\
 \phi_7 \dot{p}_7(t) &= -q_{71}(t) + q_{67}(t) - q_{72}(t) + q_{k7}(t) - q_7(t) + \delta q_7,
 \end{aligned} \tag{1}$$

где $q_{ij}(t) = -q_{ji}(t) = w_{ij}(p_i(t) - p_j(t))$ — межзональные перетоки;

$p_i(t) = \bar{p}_i(t) - \gamma_i \Delta h_i$ — приведенные к единой горизонтали давления в зонах;

δq_i — возможная ошибка приведения, обусловленная неточной информацией о p_i и Δh_i ;

$\phi = \beta_n m V_i$ — гидроупругий объем вмещающих пустот i -й зоны с коэффициентом пористости m и упругости β_n ;

$w_{ij} = w_{ji}$ — гидропроводность перехода между i -й и j -й сопряженными зонами;

$q_{ki}(t) = 3w_{ki}(p_{ki} - p_i(t))$ — краевое питание зон внешнего окаймления с краевым давлением p_{ki} и гидропроводностью $3w_{ki}$.

Под задачей идентификации гидродинамических параметров центральной зоны ($i = 1$) понимается правило оценивания (вычислений) вектора неизвестных параметров модели (1)

$$\mathbf{c} = [w_{12} \ w_{13} \ w_{14} \ w_{15} \ w_{16} \ w_{17} \ \tau_1 \ \delta q_1]^T \quad (2)$$

по выборке данных измерений

$$I = \langle p_1(k), \dots, p_7(k), q_1(k), \dots, q_7(k), k = 1, N \rangle, \quad (3)$$

что можно отразить формальным отношением

$$\hat{\mathbf{c}} = U(I), \quad (4)$$

где $p_i(k) = p_i(t_k)$, $t_{k+1} = t_k + \Delta t$, Δt — шаг измерений по времени, $\hat{\mathbf{c}}$ — оценка вектора \mathbf{c} .

Как ранее отмечалось, рассматриваемая задача относится к плохообусловленным, что при действии шумов измерений

$$I_\xi = \langle p_{ui}(k), q_{ui}(k), k = 1, N \rangle,$$

где $p_{ui}(k) = p_i(k) + \xi_{p_i}(k)$, $q_{ui}(k) = q_i(k) + \xi_{q_i}(k)$, приводит к значительным ошибкам параметрического оценивания. Разность $\mathbf{c} - \hat{\mathbf{c}}$ может достигать кратных отличий от номинала.

Рассмотренные далее алгоритмы идентификации основаны на правилах редуцирования структур с целью улучшения свойств устойчивости оценок. Рассмотрим классический случай гидропрослушивания [5], когда варьируется режим эксплуатации центральной зоны: $q_1(k) - \text{var}$, а зоны окаймления $q_i(k), p_{ki} - \text{const}$ работают в квазистатическом режиме без собственных возмущений. Рассматриваемый вариант возмущения одной скважины наиболее ущербный по критерию информативности выборки данных. Однако заметим, что величины $q_i, i = 2, 7$ могут быть ненулевыми.

Основываясь на (1) и указанных обозначениях, приведем первое уравнение системы к регрессионному виду

$$p_1(k) = \mathbf{c}_1^T \mathbf{n}_1(k) + \mathbf{a}_1^T \mathbf{x}_1(k), \quad k = 1, N, \quad (5)$$

где регрессоры переменных окаймления

$$\mathbf{x}_1(k) = [x_2(k) \ x_3(k) \ \dots \ x_7(k)]^T \quad (6)$$

пересчитаны в отклонения $x_i(k) = p_i(k) - p_{0i}$ от средних $p_{0i} = \sum_{i=1}^N p_i(k) / N$.

Соответствующий вектор параметров \mathbf{a}_1 удовлетворяет отношениям

$$\mathbf{1}_6^T \mathbf{a}_1 = a_{12} + a_{13} + a_{14} + a_{15} + a_{16} + a_{17} = 1, \quad a_{1i} \geq 0, \quad (7)$$

что следует из условий приведения

$$a_{1i} = w_{1i} / w_1, \quad w_1 = \sum_{i=1}^7 w_{1i}, \quad w_{1i} \geq 0. \quad (8)$$

Регрессоры основной динамики центральной зоны имеют вид

$$\mathbf{h}_1(k) = [1 \quad -q_1(k) \quad -\dot{p}_1(t)]^T, \quad (9)$$

а соответствующий вектор приведенных параметров записывается следующим образом:

$$\mathbf{c}_1 = [\Delta q_1 \quad b_1 \quad T_1]^T, \quad (10)$$

где $b_1 = 1/w_1$, $T_1 = \tau_1 / w_1$, $\Delta q_1 = \delta q_1 + \sum_{i=2}^7 a_{1i} p_{0i}$.

Представление модели объекта идентификации в виде (5) позволяет выделить информативные регрессоры доминирующих процессов $\mathbf{h}_1(k)$ и переменные вторичных процессов $\mathbf{x}_1(k)$ с малой вариабельностью компонент. Отсюда следует, что для повышения надежности процедуру идентификации выгодно строить по итеративной схеме с чередованием этапов МНК-оценивания параметров \mathbf{c}_1 основных и \mathbf{a}_1 вторичных процессов [3, 10, 11]

$$\begin{cases} F_{11} \hat{\mathbf{c}}_1(j) = b_1 - F_{12} \hat{\mathbf{a}}_1(j-1), \\ F_{22} \hat{\mathbf{a}}_1(j) = b_2 - F_{21} \hat{\mathbf{c}}_1(j), \end{cases} \quad (11)$$

где

$$\begin{aligned} F_{11} &= \sum_{k=1}^N \lambda_1(k) \mathbf{h}_1(k) \mathbf{h}_1(k)^T, \quad b_1 = \sum_{k=1}^N \lambda_1(k) \mathbf{h}_1(k) p_1(k), \\ F_{22} &= \sum_{k=1}^N \lambda_2(k) \mathbf{x}_1(k) \mathbf{x}_1(k)^T, \quad b_2 = \sum_{k=1}^N \lambda_2(k) \mathbf{x}_1(k) p_1(k), \\ F_{12} &= \sum_{k=1}^N \lambda_1(k) \mathbf{h}_1(k) \mathbf{x}_1(k)^T, \quad F_{21} = \sum_{k=1}^N \lambda_2(k) \mathbf{x}_1(k) \mathbf{h}_1(k)^T \end{aligned}$$

а $\lambda_1(k) \geq 0$ и $\lambda_2(k) \geq 0$ — последовательности нормирующих коэффициентов. Возможно, высокий уровень обусловленности матрицы F_{22} в отдельной схеме итеративной идентификации (11) не искажает оценки параметров \mathbf{c}_1 основной динамики и в то же время выделяет проблему обеспечения устойчивости оценок параметров окаймления \mathbf{a}_1 на основе агрегации переменных вектора $\mathbf{x}_1(k)$ с удалением линейно-зависимых компонент. Кроме того, оценки вектора \mathbf{a}_1 , согласно (7), должны удовлетворять условию $\mathbf{1}_6^T \hat{\mathbf{a}}_1(j) = 1$, что видоизменяет алгоритм расчета $\hat{\mathbf{a}}_1(j)$ в сравнении с (11).

Рассмотрим указанный подход детальнее. Для этого перепишем регрессионную модель (5) в виде

$$a_{12}\mathbf{x}_2 + a_{13}\mathbf{x}_3 + a_{14}\mathbf{x}_4 + a_{15}\mathbf{x}_5 + a_{16}\mathbf{x}_6 + a_{17}\mathbf{x}_7 = \mathbf{b}, \quad (12)$$

где $\mathbf{x}_i = [x_i(1) \dots x_i(N)]^T$, $\mathbf{b} = [b(1) \dots b(N)]^T$, $b(k) = p_1(k) - \mathbf{c}_1^T \mathbf{h}_1(k)$. Выведем процедуру редуцирования на основе ν -ортогонализации [4] в предположении, что вектор \mathbf{b} , а вернее, его оценки априорно заданы.

Переход от \mathbf{x}_i к соответствующей системе ортогональных векторов \mathbf{z}_i ($\mathbf{z}_i^T \mathbf{z}_j = 0$, $i \neq j$, $i, j \in \{2, \dots, 7\}$) осуществляется на основе процедуры Грамма — Шмидта

$$\begin{cases} \mathbf{z}_2 = \mathbf{x}_2, \\ \mathbf{z}_3 = \mathbf{x}_3 - \lambda_{32}\mathbf{z}_2, \quad \lambda_{32} = \mathbf{x}_3^T \mathbf{z}_2 / \|\mathbf{z}_2\|^2, \\ \dots \dots \dots \dots \dots \dots \dots \dots \dots \\ \mathbf{z}_7 = \mathbf{x}_7 - \lambda_{72}\mathbf{z}_2 - \dots - \lambda_{76}\mathbf{z}_6, \quad \lambda_{7i} = \mathbf{x}_7^T \mathbf{z}_i / \|\mathbf{z}_i\|^2, \quad i < 7. \end{cases} \quad (13)$$

Пусть $I_\nu \subset I = \{2, 3, \dots, 7\}$ — индексное множество ν -зависимых векторов, определенное условием

$$I_\nu = \{i : \|\mathbf{z}_i\| < \nu\}. \quad (14)$$

Полагая в (13) $\mathbf{z}_i = \mathbf{0}$, $\lambda_{ji} = 0$, $i \in I_\nu$, переходим к системе ν -ортогонального разложения векторов \mathbf{x}_i , $i \in I$, по сокращенному ортогональному базису, например, для $I_\nu = \{4, 6\}$ имеем

$$\begin{cases} \mathbf{x}_2 = \mathbf{z}_2, \\ \mathbf{x}_3 = \lambda_{32}\mathbf{z}_2 + \mathbf{z}_3, \\ \mathbf{x}_4 = \lambda_{42}\mathbf{z}_2 + \lambda_{43}\mathbf{z}_3, \\ \mathbf{x}_5 = \lambda_{52}\mathbf{z}_2 + \lambda_{53}\mathbf{z}_3 + \mathbf{z}_5, \\ \mathbf{x}_6 = \lambda_{62}\mathbf{z}_2 + \lambda_{63}\mathbf{z}_3 + \lambda_{65}\mathbf{z}_5, \\ \mathbf{x}_7 = \lambda_{72}\mathbf{z}_2 + \lambda_{73}\mathbf{z}_3 + \lambda_{75}\mathbf{z}_5 + \mathbf{z}_7. \end{cases} \quad (15)$$

Подставляя (15) в систему (12) и скалярно домножая результат поочередно на \mathbf{z}_i , $i \in I \setminus I_\nu$, приходим к системе уравнений относительно исходных параметров a_{1i}

$$\begin{cases} a_{12} + \lambda_{32}a_{13} + \lambda_{42}a_{14} + \lambda_{52}a_{15} + \lambda_{62}a_{16} + \lambda_{72}a_{17} = \mathbf{z}_2^T \mathbf{b} / \|\mathbf{z}_2\|^2, \\ a_{13} + \lambda_{43}a_{14} + \lambda_{53}a_{15} + \lambda_{63}a_{16} + \lambda_{73}a_{17} = \mathbf{z}_3^T \mathbf{b} / \|\mathbf{z}_3\|^2, \\ a_{15} + \lambda_{65}a_{16} + \lambda_{75}a_{17} = \mathbf{z}_5^T \mathbf{b} / \|\mathbf{z}_5\|^2, \\ a_{17} = \mathbf{z}_7^T \mathbf{b} / \|\mathbf{z}_7\|^2. \end{cases}$$

Запишем систему в векторно-матричной форме

$$\mathcal{L}_B \mathbf{a}_B + \mathcal{L}_C \mathbf{a}_C = \mathbf{b}_B,$$

где $\mathbf{a}_B = [a_{12} \ a_{13} \ a_{15} \ a_{17}]^T$ — вектор базовых параметров, $\mathbf{a}_C = [a_{14} \ a_{16}]^T$ — вектор свободных параметров,

$$J_B = \begin{bmatrix} 1 & \lambda_{32} & \lambda_{52} & \lambda_{72} \\ 0 & 1 & \lambda_{53} & \lambda_{73} \\ 0 & 0 & 1 & \lambda_{75} \\ 0 & 0 & 0 & 1 \end{bmatrix}, \quad J_C = \begin{bmatrix} \lambda_{42} & \lambda_{62} \\ \lambda_{43} & \lambda_{63} \\ 0 & \lambda_{65} \\ 0 & 0 \end{bmatrix}, \quad \mathbf{b}_B = \begin{bmatrix} \mathbf{z}_2^T \mathbf{b} / \|\mathbf{z}_2\|^2 \\ \mathbf{z}_3^T \mathbf{b} / \|\mathbf{z}_3\|^2 \\ \mathbf{z}_5^T \mathbf{b} / \|\mathbf{z}_5\|^2 \\ \mathbf{z}_7^T \mathbf{b} / \|\mathbf{z}_7\|^2 \end{bmatrix},$$

или

$$\mathbf{a}_B + J_{BC} \mathbf{a}_C = \mathbf{a}_0, \quad J_{BC} = J_B^{-1} J_C, \quad \mathbf{a}_0 = J_B^{-1} \mathbf{b}_B,$$

Прямой проверкой $J_B \cdot J_B^{-1} = I$ убеждаемся в справедливости определения

$$J_B^{-1} = \begin{bmatrix} 1 & -\lambda_{32} & \lambda_{32}\lambda_{53} - \lambda_{52} & \lambda_{32}(\lambda_{73} - \lambda_{53}\lambda_{75}) + \lambda_{52}\lambda_{75} - \lambda_{71} \\ 0 & 1 & -\lambda_{53} & \lambda_{53}\lambda_{75} - \lambda_{71} \\ 0 & 0 & 1 & -\lambda_{75} \\ 0 & 0 & 0 & 1 \end{bmatrix},$$

из чего следует

$$J_C = \begin{bmatrix} \lambda_{42} - \lambda_{43}\lambda_{32} & \lambda_{62} - \lambda_{63}\lambda_{32} + \lambda_{65}(\lambda_{32}\lambda_{53} - \lambda_{52}) \\ \lambda_{43} & \lambda_{63} - \lambda_{65}\lambda_{53} \\ 0 & \lambda_{65} \\ 0 & 0 \end{bmatrix},$$

что соответствует структуре системы

$$\begin{cases} a_{12} + \alpha_{42}a_{14} + \alpha_{62}a_{16} = a_{12}^0, \\ a_{13} + \alpha_{43}a_{14} + \alpha_{63}a_{16} = a_{13}^0, \\ a_{15} + \alpha_{65}a_{16} = a_{15}^0, \\ a_{17} = a_{17}^0. \end{cases} \quad (17)$$

Обнуляя вектор свободных переменных $\mathbf{a}_C = 0$, получаем огрубленное представление модели (12) в виде

$$a_{12}^0 \mathbf{x}_2 + a_{13}^0 \mathbf{x}_3 + a_{15}^0 \mathbf{x}_5 + a_{17}^0 \mathbf{x}_7 = \mathbf{b}. \quad (18)$$

Однако в общем случае ν -редуцированная модель объекта, согласно (17), имеет представление

$$(a_{12} + \alpha_{42}a_{14} + \alpha_{62}a_{16})\mathbf{x}_2 + (a_{13} + \alpha_{43}a_{14} + \alpha_{63}a_{16})\mathbf{x}_3 + (a_{15} + \alpha_{65}a_{16})\mathbf{x}_5 + a_{17}\mathbf{x}_7 = \mathbf{b},$$

что в сопоставлении с (12) устанавливает факт ν -зависимости следующего характера:

$$\begin{cases} \mathbf{x}_4 = \alpha_{42}\mathbf{x}_2 + \alpha_{43}\mathbf{x}_3, \\ \mathbf{x}_6 = \alpha_{62}\mathbf{x}_2 + \alpha_{63}\mathbf{x}_3 + \alpha_{65}\mathbf{x}_5. \end{cases} \quad (19)$$

Именно такой характер зависимости был предопределен примером (15) с $I_\nu = \{4, 6\}$.

Полученная система уравнений (17) по сути выступает результатом второго этапа решения задачи идентификации в итеративной схеме (11). Технология ν -ортогонального редуцирования системы вторичных процессов вы-

явила факт, что в силу линейной зависимости векторов $\mathbf{x}_4, \mathbf{x}_6$ (19) параметры передач a_{14}, a_{16} не могут быть надежно выделены.

Последующий анализ связан с приемами формального доопределения вектора параметров окаймления $\mathbf{a}^T = [\mathbf{a}_B^T \ \mathbf{a}_C^T]$ на основе простейших правил регуляризации [1] и учета ограничений (7). Точку притяжения в схеме с регуляризацией определим в предположении радиальной однородности коллектора: $a_{li}^\alpha = \frac{1}{6}$ или $\mathbf{a}_{B\alpha} = \frac{1}{6}\mathbf{1}_B$, $\mathbf{a}_{C\alpha} = \frac{1}{6}\mathbf{1}_C$, где $\mathbf{1}_B = [1 \ 1 \ 1 \ 1]^T$, $\mathbf{1}_C = [1 \ 1]^T$. Отсюда регуляризованный критерий идентификации на основе (16), (17) запишется следующим образом:

$$J_\alpha = (\alpha_B + \alpha_C) \left\| \hat{\mathbf{a}}_B + J_{BC} \hat{\mathbf{a}}_C - \mathbf{a}_0 \right\|^2 + (1 - \alpha_B) \left\| \hat{\mathbf{a}}_B - \mathbf{a}_{B\alpha} \right\|^2 + (1 - \alpha_C) \left\| \hat{\mathbf{a}}_C - \mathbf{a}_{C\alpha} \right\|^2 \rightarrow \min \quad (20)$$

при выполнении условий

$$\hat{\mathbf{a}}_B^T \mathbf{1}_B + \hat{\mathbf{a}}_C^T \mathbf{1}_C = 1, \ \mathbf{a} \geq 0, \quad (21)$$

где $\alpha = \alpha_B + \alpha_C$, $\alpha \in [0, 1]$.

Для (20) и (21) составим функцию Лагранжа

$$L_\alpha = J_\alpha - 2\lambda \left(\hat{\mathbf{a}}_B^T \mathbf{1}_B + \hat{\mathbf{a}}_C^T \mathbf{1}_C - 1 \right)$$

и соответствующие уравнения для градиентов по настройкам $\hat{\mathbf{a}}_B$ и $\hat{\mathbf{a}}_C$

$$\begin{cases} \alpha \left(\hat{\mathbf{a}}_B + J_{BC} \hat{\mathbf{a}}_C - \mathbf{a}_0 \right) + (1 - \alpha_B) \left(\hat{\mathbf{a}}_B - \mathbf{a}_{B\alpha} \right) - \lambda \mathbf{1}_B = \mathbf{0}, \\ \alpha \left(J_{BC}^T \hat{\mathbf{a}}_B + J_{BC}^T J_{BC} \hat{\mathbf{a}}_C - J_{BC}^T \mathbf{a}_0 \right) + (1 - \alpha_C) \left(\hat{\mathbf{a}}_C - \mathbf{a}_{C\alpha} \right) - \lambda \mathbf{1}_C = \mathbf{0}. \end{cases}$$

Объединенная система уравнений запишется следующим образом:

$$F\mathbf{a} = \alpha F_0 \mathbf{a}_0 + f_\alpha + \lambda \mathbf{1},$$

где $\mathbf{1}^T \mathbf{a} = 1$. В силу чего искомым алгоритм оценивания параметров окаймления принимает вид

$$\begin{cases} \hat{\mathbf{a}} = F^{-1} (\alpha F_0 \mathbf{a}_0 + f_\alpha + \lambda \mathbf{1}), \\ \lambda = \left(\mathbf{1} - \mathbf{1}^T F^{-1} (\alpha F_0 \mathbf{a}_0 + f_\alpha) \right) / \mathbf{1}^T F^{-1} \mathbf{1}, \end{cases} \quad (22)$$

где

$$F = \begin{bmatrix} (1 + \alpha_C) I_B & \alpha J_{BC} \\ \alpha J_{BC}^T & (1 - \alpha_C) I_C + \alpha J_{BC}^T J_{BC} \end{bmatrix}, \quad F_0 = \begin{bmatrix} I_B \\ J_{BC}^T \end{bmatrix}, \quad f_\alpha = \begin{bmatrix} (1 - \alpha_B) \mathbf{a}_{B\alpha} \\ (1 - \alpha_C) \mathbf{a}_{C\alpha} \end{bmatrix}, \quad \mathbf{1} = \begin{bmatrix} \mathbf{1}_B \\ \mathbf{1}_C \end{bmatrix},$$

$$I_B = \text{diag}\{1 \ 1 \ 1\}, \quad I_C = \text{diag}\{1 \ 1\}.$$

Полученный алгоритм удовлетворяет условию равенства (21), однако не гарантирует условие положительности компонент вектора \mathbf{a} , что можно достигнуть настройкой (уменьшением) параметров регуляризации $\alpha_B, \alpha_C \in [0, 1]$.

Структура решающего правила (22) в совокупности с итеративной процедурой (11) образует искомый результат по технологии устойчивого оценивания на основе метода ν -ортогонального редуцирования.

ЛИТЕРАТУРА

1. Алифанов О.М., Артюхин Е.А., Румянцев С.В. Экстремальные методы решения некорректных задач. М.: Наука, 1988. 288 с.
2. Басниев К.С., Дмитриев Н.М., Каневская Р.Д., Максимов В.М. Подземная гидромеханика. М.; Ижевск: Ин-т компьютерных исследований, 2005. 496 с.
3. Ведерникова Ю.А., Соловьев И.Г. Оценивание локальных гидродинамических характеристик нефтяных коллекторов // Автоматизация, телемеханизация и связь в нефтяной промышленности. 2005. № 12. С. 16–20.
4. Голуб Дж., Ван Лоун Ч. Матричные вычисления. М.: Мир, 1999. 548 с.
5. Зайцев Ю.В., Балакиров Ю.А. Технология и техника эксплуатации нефтяных и газовых скважин. М.: Недра, 1986. 302 с.
6. Закиров С.Н., Закиров Э.С., Индрунский И.М. и др. Проблемы подсчета запасов, разработки и 3D компьютерного моделирования // Нефтяное хозяйство. 2007. № 5. С. 6–68.
7. Ипатов А.И., Кременецкий М.И. Геофизический и гидродинамический контроли разработки месторождений углеводородов. М.: РХД: Ин-т компьютерного моделирования, 2006. 780 с.
8. Мухаметзянов Р.Н., Фахретдинов Р.Н., Стрижнев К.В. и др. Аспекты применения геолого-гидродинамического моделирования для проектирования и мониторинга геолого-технических мероприятий // Нефтяное хозяйство. 2007. № 10. С. 86–89.
9. РД 153-39.0-047-00. Регламент по созданию постоянно действующих геолого-технологических моделей нефтяных и газовых месторождений / Минтопэнерго. М., 2000.
10. Соловьев И.Г. Гидродинамическая модель и идентификация локальных участков нефтяных коллекторов в режиме нормальной эксплуатации // Изв. вузов. Нефть и газ. 2005. № 1. С. 42–47.
11. Соловьев И.Г., Говорков Д.А. Факторы устойчивости МНК-оценок параметров модели притока вертикальной скважины // Автоматизация, телемеханизация и связь в нефтяной промышленности. 2009. № 9. С. 31–35.
12. Форсайт Дж., Молер К. Численное решение систем линейных алгебраических уравнений. М.: Мир, 1969. 168 с.
13. Чарный И.А. Подземная гидрогазодинамика. М.: Гостоптехиздат, 1963. 396 с.
14. Gao G., Li G., Reynolds A. C. A Stochastic Optimization Algorithm for Automatic History Matching // SPE 90065.
15. Gu Y., Oliver D.S. An Iterative Ensemble Kalman Filter for Multiphase Fluid Flow Data Assimilation // SPE 108438.
16. Zhang D., Lu Z., Chen Y. Dynamic Reservoir Data Assimilation with an Efficient Dimension-Reduced Kalman Filter // SPE 95277.

I.G. Solovyev, R.V. Raspopov

STABLE EVALUATION REGARDING PARAMETERS OF COLLECTORS BASING ON ν -ORTHOGONALIZATION

Subject to investigation being questions of improving evaluation stability with hydrodynamic parameters in local zones of oil-bearing collectors basing on methods of quasi-orthogonal reduction.

Oil-bearing collectors, water permeability, identification, orthogonalization, model.